

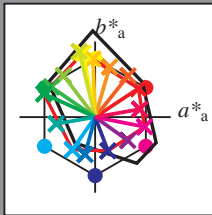
Entreè et sortie: Système Printer Reflective FRS06a

Donnee de couleurs peripherique (d)
ou èlémentaire (e):

HIC^*_d
code de teinte pour les couleurs
de cette page:
 $H^*_d = R00Y_d, R25Y_d, \dots, B75R_d$

LRS18a; adaptées données CIELAB (a)

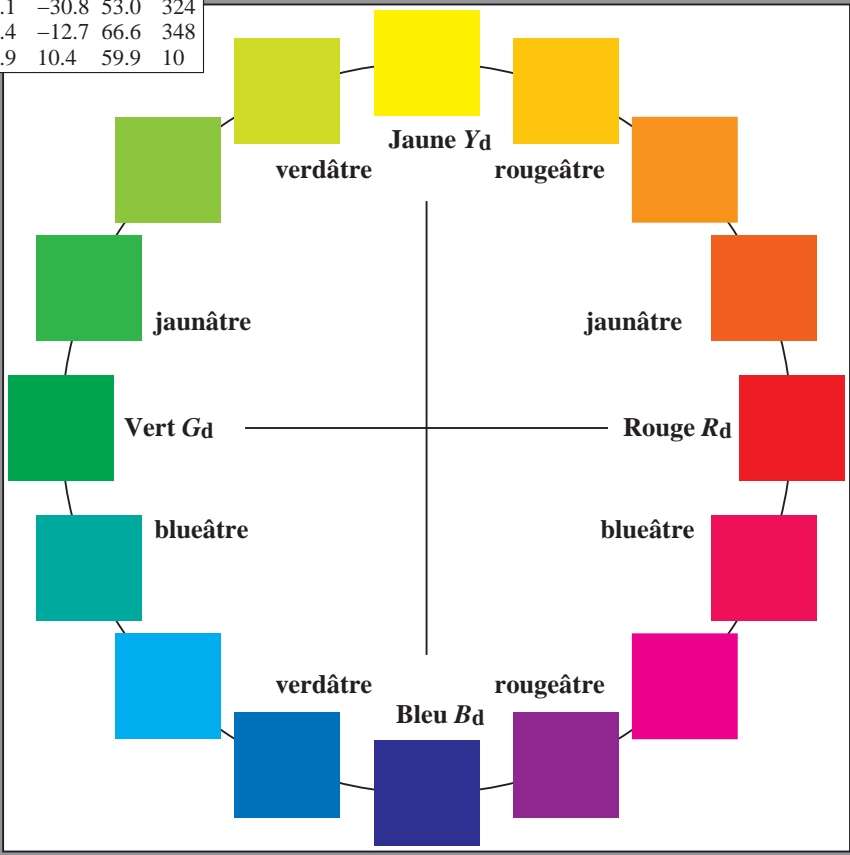
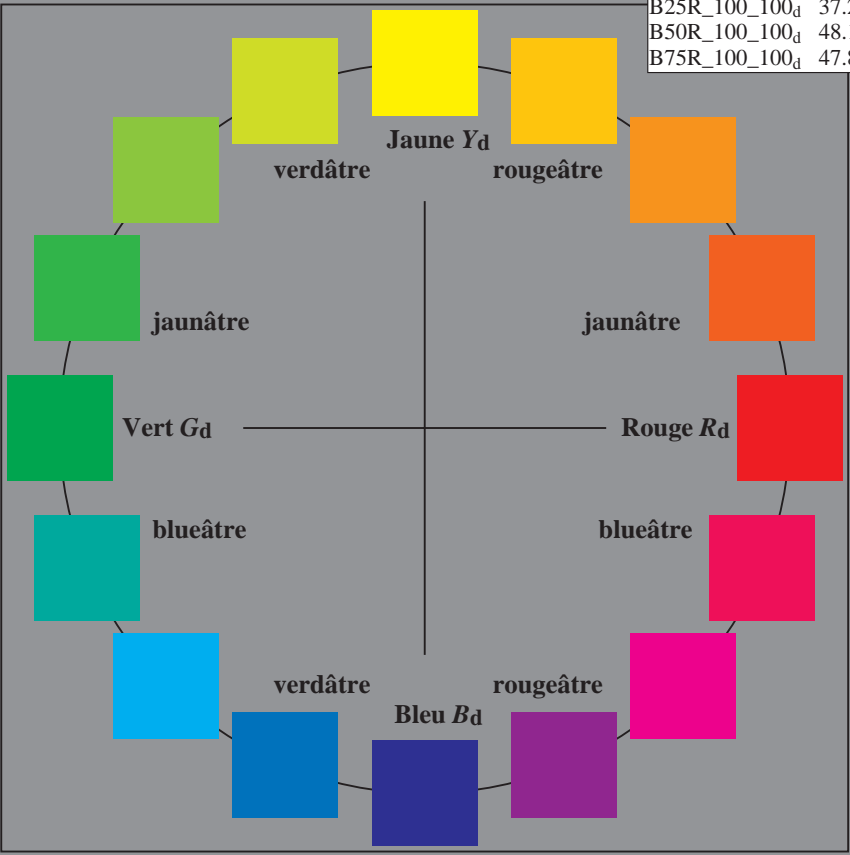
H^*_d	$L^*=L^*_a$	a^*_a	b^*_a	$C^*_{ab,a}$	$h^*_{ab,a}$
R00Y_100_100_d	47.5	57.2	37.8	68.6	33
R25Y_100_100_d	57.4	43.5	54.5	69.7	51
R50Y_100_100_d	70.5	19.2	66.2	69.0	73
R75Y_100_100_d	83.5	-2.9	76.8	76.9	92
Y00G_100_100_d	91.5	-15.8	84.6	86.1	100
Y25G_100_100_d	90.4	-20.9	86.5	89.0	103
Y50G_100_100_d	70.9	-41.7	54.8	68.9	127
Y75G_100_100_d	60.1	-57.9	39.6	70.2	145
G00B_100_100_d	54.3	-67.6	30.8	74.3	155
G25B_100_100_d	55.0	-51.4	-8.9	52.2	189
G50B_100_100_d	53.1	-30.0	-43.1	52.5	235
G75B_100_100_d	46.1	-13.3	-49.4	51.1	254
B00R_100_100_d	32.5	16.9	-44.6	47.7	290
B25R_100_100_d	37.2	43.1	-30.8	53.0	324
B50R_100_100_d	48.1	65.4	-12.7	66.6	348
B75R_100_100_d	47.8	58.9	10.4	59.9	10



% Gamme
 $u^*_{rel} = 114$
% Régularité
 $g^*_{H,rel} = 28$
 $g^*_{C,rel} = 38$

LRS18a; adaptées données CIELAB (a)

Name	$L^*=L^*_a$	a^*_a	b^*_a	$C^*_{ab,a}$	$h^*_{ab,a}$
R _d ,Ma	47.5	57.2	37.8	68.6	33
Y _d ,Ma	91.5	-15.8	84.6	86.1	100
G _d ,Ma	54.3	-67.6	30.8	74.3	155
C _d ,Ma	53.1	-30.0	-43.1	52.5	235
B _d ,Ma	32.5	16.9	-44.6	47.7	290
M _d ,Ma	48.1	65.4	-12.7	66.6	348
N _d ,Ma	23.8	0.0	0.0	0.0	0
W _d ,Ma	95.8	0.0	0.0	0.0	0
R _d ,CIE	39.9	58.7	27.9	65.0	25
Y _d ,CIE	81.2	-2.8	71.5	71.6	92
G _d ,CIE	52.2	-42.4	13.6	44.5	162
B _d ,CIE	30.5	1.4	-46.4	46.4	271

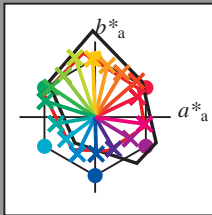


Entreè et sortie: Système Printer Reflective FRS06a

Donnee de couleurs peripherique (d)
ou èlémentaire (e):

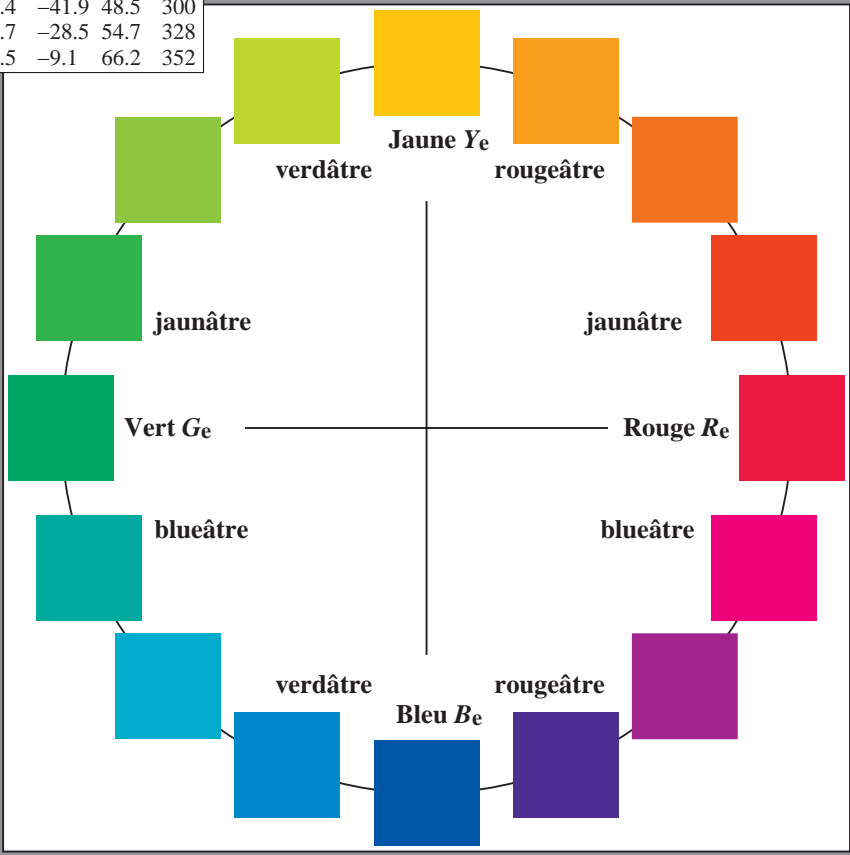
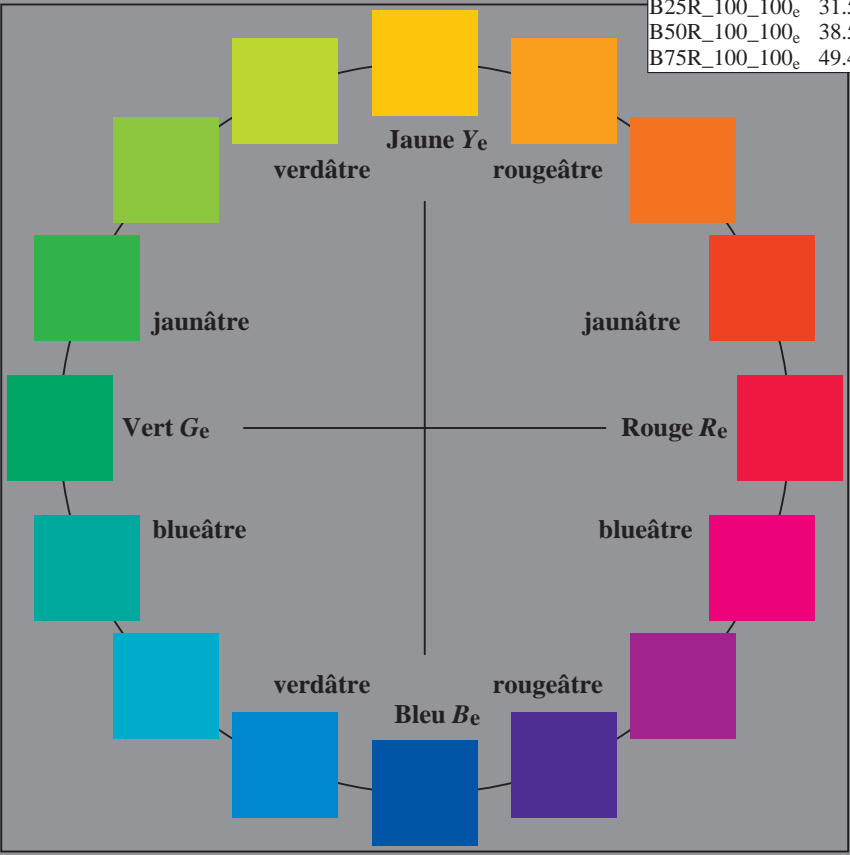
HIC^*_e
code de teinte pour les couleurs
de cette page:
 $H^*_e = R00Y_e, R25Y_e, \dots, B75R_e$

LRS18a; adaptées données CIELAB (a)					
H^*_e	$L^*=L^*_a$	a^*_a	b^*_a	$C^*_{ab,a}$	$h^*_{ab,a}$
R00Y_100_100 _e	47.5	56.0	26.7	62.1	25
R25Y_100_100 _e	51.4	54.8	47.7	72.6	41
R50Y_100_100 _e	61.8	35.2	58.4	68.2	58
R75Y_100_100 _e	72.3	16.1	68.2	70.1	76
Y00G_100_100 _e	83.6	-3.1	76.8	76.9	92
Y25G_100_100 _e	85.8	-26.4	78.5	82.9	108
Y50G_100_100 _e	71.0	-41.7	54.8	68.9	127
Y75G_100_100 _e	59.9	-58.2	39.3	70.2	145
G00B_100_100 _e	53.8	-65.9	21.1	69.2	162
G25B_100_100 _e	55.0	-51.6	-8.7	52.3	189
G50B_100_100 _e	54.9	-38.7	-29.1	48.4	216
G75B_100_100 _e	51.7	-23.3	-48.6	53.9	244
B00R_100_100 _e	37.3	1.4	-48.6	48.7	271
B25R_100_100 _e	31.5	24.4	-41.9	48.5	300
B50R_100_100 _e	38.5	46.7	-28.5	54.7	328
B75R_100_100 _e	49.4	65.5	-9.1	66.2	352



% Gamme
 $u^*_{rel} = 114$
% Régularité
 $g^*_{H,rel} = 28$
 $g^*_{C,rel} = 38$

LRS18a; adaptées données CIELAB (a)					
Name	$L^*=L^*_a$	a^*_a	b^*_a	$C^*_{ab,a}$	$h^*_{ab,a}$
R _e ,Ma	47.5	56.0	26.7	62.1	25
Y _e ,Ma	83.6	-3.1	76.8	76.9	92
G _e ,Ma	53.8	-65.9	21.1	69.2	162
C _e ,Ma	54.9	-38.7	-29.1	48.4	216
B _e ,Ma	37.3	1.4	-48.6	48.7	271
M _e ,Ma	38.5	46.7	-28.5	54.7	328
N _e ,Ma	23.8	0.0	0.0	0.0	0
W _e ,Ma	95.8	0.0	0.0	0.0	0
R _e ,CIE	39.9	58.7	27.9	65.0	25
Y _e ,CIE	81.2	-2.8	71.5	71.6	92
G _e ,CIE	52.2	-42.4	13.6	44.5	162
B _e ,CIE	30.5	1.4	-46.4	46.4	271



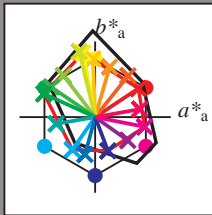
Entreè et sortie: Système Printer Reflective FRS06a

Donnee de couleurs peripherique (d)
ou èlèmentaire (e):

HIC^*_d
code de teinte pour les couleurs
de cette page:
 $H^*_d = R00Y_d, R25Y_d, \dots, B75R_d$

LRS18a; adaptées données CIELAB (a)

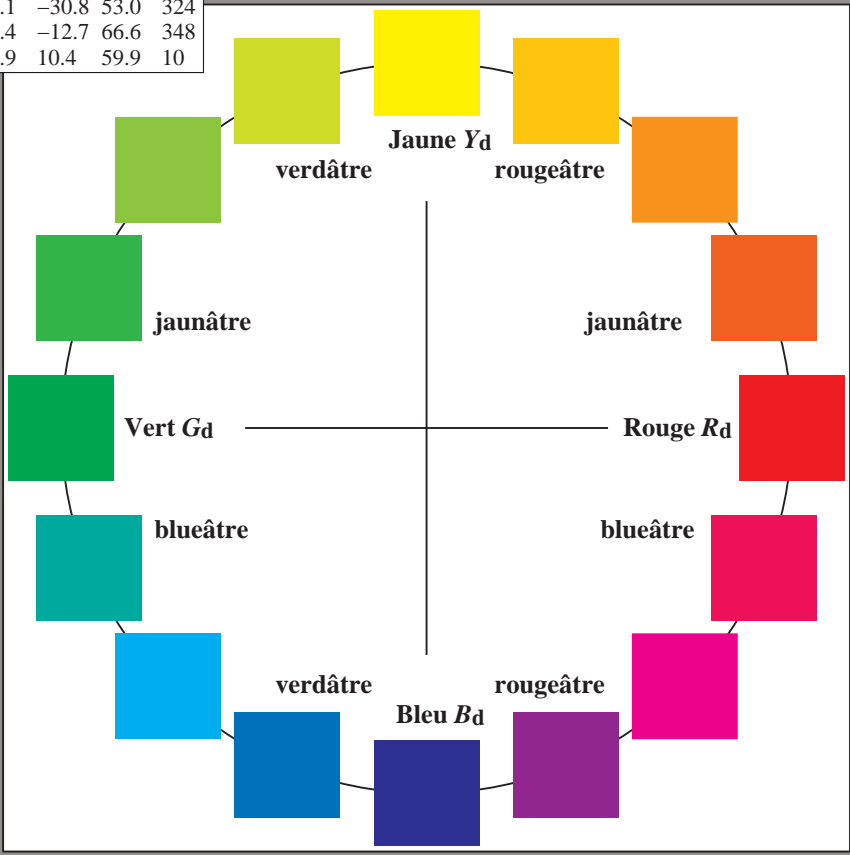
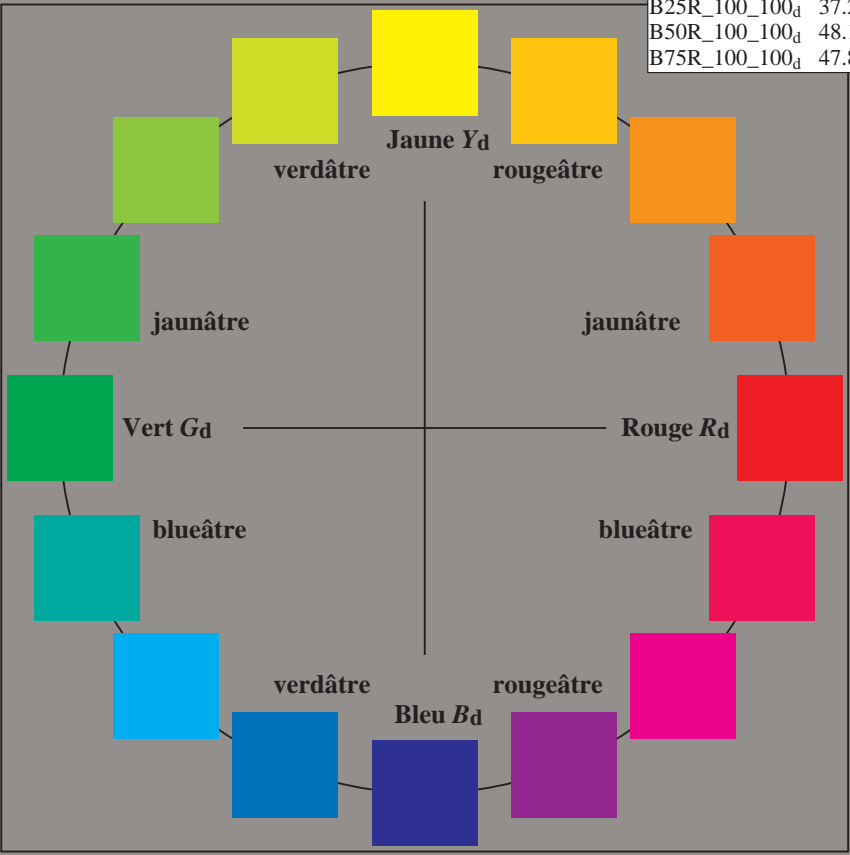
H^*_d	$L^*=L^*_a$	a^*_a	b^*_a	$C^*_{ab,a}$	$h^*_{ab,a}$
R00Y_100_100_d	47.5	57.2	37.8	68.6	33
R25Y_100_100_d	57.4	43.5	54.5	69.7	51
R50Y_100_100_d	70.5	19.2	66.2	69.0	73
R75Y_100_100_d	83.5	-2.9	76.8	76.9	92
Y00G_100_100_d	91.5	-15.8	84.6	86.1	100
Y25G_100_100_d	90.4	-20.9	86.5	89.0	103
Y50G_100_100_d	70.9	-41.7	54.8	68.9	127
Y75G_100_100_d	60.1	-57.9	39.6	70.2	145
G00B_100_100_d	54.3	-67.6	30.8	74.3	155
G25B_100_100_d	55.0	-51.4	-8.9	52.2	189
G50B_100_100_d	53.1	-30.0	-43.1	52.5	235
G75B_100_100_d	46.1	-13.3	-49.4	51.1	254
B00R_100_100_d	32.5	16.9	-44.6	47.7	290
B25R_100_100_d	37.2	43.1	-30.8	53.0	324
B50R_100_100_d	48.1	65.4	-12.7	66.6	348
B75R_100_100_d	47.8	58.9	10.4	59.9	10



% Gamme
 $u^*_{rel} = 114$
% Régularité
 $g^*_{H,rel} = 28$
 $g^*_{C,rel} = 38$

LRS18a; adaptées données CIELAB (a)

Name	$L^*=L^*_a$	a^*_a	b^*_a	$C^*_{ab,a}$	$h^*_{ab,a}$
R _d ,Ma	47.5	57.2	37.8	68.6	33
Y _d ,Ma	91.5	-15.8	84.6	86.1	100
G _d ,Ma	54.3	-67.6	30.8	74.3	155
C _d ,Ma	53.1	-30.0	-43.1	52.5	235
B _d ,Ma	32.5	16.9	-44.6	47.7	290
M _d ,Ma	48.1	65.4	-12.7	66.6	348
N _d ,Ma	23.8	0.0	0.0	0.0	0
W _d ,Ma	95.8	0.0	0.0	0.0	0
R _d ,CIE	39.9	58.7	27.9	65.0	25
Y _d ,CIE	81.2	-2.8	71.5	71.6	92
G _d ,CIE	52.2	-42.4	13.6	44.5	162
B _d ,CIE	30.5	1.4	-46.4	46.4	271

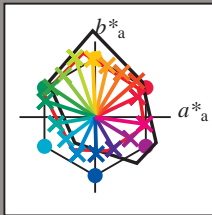


Entreè et sortie: Système Printer Reflective FRS06a

Donnee de couleurs peripherique (d)
ou èlémentaire (e):

HIC^*_e
code de teinte pour les couleurs
de cette page:
 $H^*_e = R00Y_e, R25Y_e, \dots, B75R_e$

LRS18a; adaptées données CIELAB (a)					
H^*_e	$L^*=L^*_a$	a^*_a	b^*_a	$C^*_{ab,a}$	$h^*_{ab,a}$
R00Y_100_100 _e	47.5	56.0	26.7	62.1	25
R25Y_100_100 _e	51.4	54.8	47.7	72.6	41
R50Y_100_100 _e	61.8	35.2	58.4	68.2	58
R75Y_100_100 _e	72.3	16.1	68.2	70.1	76
Y00G_100_100 _e	83.6	-3.1	76.8	76.9	92
Y25G_100_100 _e	85.8	-26.4	78.5	82.9	108
Y50G_100_100 _e	71.0	-41.7	54.8	68.9	127
Y75G_100_100 _e	59.9	-58.2	39.3	70.2	145
G00B_100_100 _e	53.8	-65.9	21.1	69.2	162
G25B_100_100 _e	55.0	-51.6	-8.7	52.3	189
G50B_100_100 _e	54.9	-38.7	-29.1	48.4	216
G75B_100_100 _e	51.7	-23.3	-48.6	53.9	244
B00R_100_100 _e	37.3	1.4	-48.6	48.7	271
B25R_100_100 _e	31.5	24.4	-41.9	48.5	300
B50R_100_100 _e	38.5	46.7	-28.5	54.7	328
B75R_100_100 _e	49.4	65.5	-9.1	66.2	352



% Gamme
 $u^*_{rel} = 114$
% Régularité
 $g^*_{H,rel} = 28$
 $g^*_{C,rel} = 38$

LRS18a; adaptées données CIELAB (a)					
Name	$L^*=L^*_a$	a^*_a	b^*_a	$C^*_{ab,a}$	$h^*_{ab,a}$
R _e ,Ma	47.5	56.0	26.7	62.1	25
Y _e ,Ma	83.6	-3.1	76.8	76.9	92
G _e ,Ma	53.8	-65.9	21.1	69.2	162
C _e ,Ma	54.9	-38.7	-29.1	48.4	216
B _e ,Ma	37.3	1.4	-48.6	48.7	271
M _e ,Ma	38.5	46.7	-28.5	54.7	328
N _e ,Ma	23.8	0.0	0.0	0.0	0
W _e ,Ma	95.8	0.0	0.0	0.0	0
R _e ,CIE	39.9	58.7	27.9	65.0	25
Y _e ,CIE	81.2	-2.8	71.5	71.6	92
G _e ,CIE	52.2	-42.4	13.6	44.5	162
B _e ,CIE	30.5	1.4	-46.4	46.4	271

